

بررسی رابطه بین تجمع بتاکاروتن و مقاومت به تنش سرما با استفاده از کیتیک

Dunaliella فلورسنس کلروفیل a در جلبک سبز تک سلولی

مرضیه پائیزی^۱، علیرضا عینعلی^۲ و منصور شریعتی^{*}^۱

^۱ اصفهان، دانشگاه اصفهان، دانشکده علوم، گروه زیست‌شناسی

^۲ زاهدان، دانشگاه سیستان و بلوچستان دانشکده علوم، گروه زیست‌شناسی

تاریخ پذیرش: ۹۰/۱۱/۱۲ تاریخ دریافت: ۹۰/۱۱/۳

چکیده

بتاکاروتن در شرایط نامناسب رشدی ازجمله شدت بالای نور، غلظت‌های بالای نمک، دمای پائین یا بالا و کمبود نیترات در کلروپلاست گیاهان عالی و جلبک‌های سبز ذخیره شده از دستگاه فتوستنتزی، بهویژه فتوسیستم II (PSII) محافظت می‌کنند. جلبک سبز تک‌سلولی *Dunaliella* بهویژه گونه‌های *D. salina* و *D. bardawil* توانایی ذخیره کردن حجم بالایی از بتاکاروتن را در کلروپلاست خود در شرایط نامناسب دارند. در این تحقیق، برای بررسی نقش بتاکاروتن در مقاومت به تنش سرما در *Dunaliella* سوسپانسیون‌های جلبکی از گونه‌های *D. salina* و *D. bardawil* در غلظت‌های ۱، ۲ و ۳ مولار NaCl در دمای ۲۵ درجه سانتیگراد در شش تکرار کشت داده شدند و پس از افزایش میزان بتاکاروتن سلولی و اندازه‌گیری میزان آن، پس از ۲ هفته، نمونه‌ها به دمای صفر درجه سانتیگراد منتقل شده، پس از ۸ ساعت دوباره به دمای ۲۵ درجه سانتیگراد انتقال یافته‌ند. سپس میزان کیتیک فلورسنس *a* نمونه‌ها اندازه‌گیری و شاخص‌های مربوط به آن ارزیابی شد. نتایج نشان داد که میزان بتاکاروتن در *D. bardawil* بهویژه در غلظت ۳ مولار نمکی بیشتر از *D. salina* است. همچنین پس از انتقال به دمای ۲۵ درجه سانتیگراد شاخص‌های F_v/F_0 (کارایی کمپلکس تجزیه آب در سمت دهنده فتوسیستم II)، Φ_{Po} (انتقال الکترون به فتوفیتین و Q_A)، Ψ_0 (انتقال الکترون از Q_B به Q_A)، Φ_{Eo} (میزان انتقال الکترون در زنجیره انتقال الکترون فتوسیستم II)، Φ_{R0} (میزان احیای پذیرنده انتها ای زنجیر انتقال الکترون در سمت پذیرنده الکترون فتوسیستم I) و Φ_{D0} (میزان اتلاف انرژی) در *D. salina* تغییرات کمتری نسبت به *D. bardawil* در محیط ۳ مولار نمکی از خود نشان دادند. با توجه به نتایج به نظر می‌رسد، در محیط‌های حاوی غلظت بالای نمک، *D. bardawil* هنگامی که از دمای صفر درجه سانتیگراد به ۲۵ درجه سانتیگراد منتقل می‌شود با کارایی بهتری به حالت طبیعی اولیه باز می‌گردد. در چنین شرایطی *D. bardawil* در قیاس با *D. salina* توانایی بیشتری در تجمع بتاکاروتن و در پی آن حفاظت از مراکز واکنش PSII دارد.

واژه‌های کلیدی: بتاکاروتن، تنش سرما، دونالیا، فتوسیستم II، کیتیک فلورسنس کلروفیل a

* نویسنده مسئول، تلفن: ۰۳۱-۳۷۹۳۲۴۷۲، پست الکترونیکی: mansour_shariati@yahoo.com

مقدمه

دمای پائین، به عنوان عاملی تنش‌زا در محیط پیرامون گیاهان، می‌تواند سرعت فرایندهای بیوشیمیایی سلول‌ها را به صورت متفاوتی تحت تأثیر قرار دهد و در نتیجه منجر به ایجاد عدم تعادل در فرایندهای اصلی مسیرهای متابولیک شود (۲۶). فتوستنتز جزو اولین فرایندهایی است که در گیاهان عالی و جلبک‌های سبز تحت تأثیر دمای پائین قرار می‌گیرد (۹). به علت سرعت بیشتر واکنش‌های فتوشیمیایی اولیه در فتوسیستم II و I نسبت به انتقال

تریپلت و حفظ پایداری کمپلکس‌های رنگیزه-پروتئین در غشا تیلاکوئیدها و یا از طریق جذب نور در شدت‌های بالای نور به عنوان یک فیلتر نوری از دستگاه فتوستزی به‌ویژه PSII محافظت می‌کند (۱۴، ۲۹). جلبک سبز تک سلولی *Dunaliella* به‌ویژه گونه‌های *D. bardawil* و *D. salina* توانایی ذخیره کردن مقدار قابل توجهی از بتاکاروتن در کلروپلاست خود را در شرایط نامناسب محیطی مانند شدت بالای نور، غلاظت‌های بالای نمک (۸)، دماهای پایین یا بالا (۴ و ۵)، کمبود مواد غذایی مانند نیترات و سولفات (۱ و ۲) و همچنین غلاظت بالای فلزات سنگین نظیر مس و کadmیوم را دارد (۲۲ و ۲۳). توانایی بتاکاروتن در خاموش‌سازی گونه‌های فعال اکسیژن باعث شده است که کاربرد آن به عنوان آنتی‌اکسیدان برای پیشگیری و مقابله با سلطان‌ها برسی شود (۶). با توجه به خصوصیات منحصر به فرد جلبک *Dunaliella* در تجمع بتاکاروتن، روش‌های بیوتکنولوژی برای افزایش میزان بتاکاروتن در مقیاس صنعتی در این جلبک طراحی شده است (۱۱ و ۱۲). در حال حاضر، از بتاکاروتن جلبک *Dunaliella* به طور گسترده‌ای در صنایع غذایی و دارویی استفاده می‌شود.

با توجه به نقش بتاکاروتن به عنوان یک آنتی‌اکسیدان در جاروب کردن گونه‌های فعال اکسیژن و حفاظت از رنگیزه‌های فتوستزی در گیاهان و جلبک‌های سبز تحت شرایط نامساعد محیطی و همچنین توانایی جلبک *Dunaliella* در تجمع این رنگیزه در شرایط تنفس‌زا، بررسی نقش بتاکاروتن در مقاومت یا عدم مقاومت جلبک PSII به تنفس سرما و تأثیر آن در حفاظت از جلبک *Dunaliella* تحت این شرایط به عنوان هدف این تحقیق در نظر گرفته شد.

مواد و روش‌ها

تهیه سوسپانسیون جلبکی از جلبک *Dunaliella* گونه‌های *D. bardawil* سویه 2538 UTEX و *D. salina*

الکترون و واکنش‌های بیوشیمیابی فتوستز، حضور موجودات فتوستزکننده در محدوده‌ای از انرژی نورانی که بیش از نیاز فرایند فتوستز است، به عدم تعادل انرژی و به طور کلی بازدارندگی نوری (photoinhibition) منجر می‌شود (۱۳). حساسیت واکنش‌های بیوفیزیکی فتوستز نسبت به تنفس سرما به مراتب کمتر از واکنش‌های بیوشیمیابی است. کلروفیل‌ها جذب فوتون‌های نوری را همچنان در دمای پایین‌دامه می‌دهند، در حالی که انتقال انرژی از طریق الکترون‌ها به ترکیبات پذیرنده الکترون با سرعت کافی انجام نمی‌شود (۱۵). همچنین، تنفس سرما ظرفیت ثبیت CO_2 را کاهش می‌دهد. در نتیجه دمای پایین، شدت نور بهینه را که برای اشباع فتوستز (saturation irradiance) مورد نیاز است، کاهش می‌دهد (۱۶). زمانی که انرژی نورانی به دام افتاده از میزان انرژی لازم برای تبدیل به انرژی شیمیابی بیشتر باشد، فتوسیستم II (PSII) دستگاه فتوستزی آسیب می‌بیند. علاوه بر آن، بازدارندگی نوری ایجاد شده در اثر کاهش دما، به تشکیل گونه‌های فعال اکسیژن، از طریق احیا مولکول O_2 به سوپراکسید (O_2^-) یا از طریق انتقال انرژی از کلروفیل تحریک شده سه‌تایی (triplet) به مولکول O_2 و تشکیل مولکول اکسیژن یکتایی منجر می‌شود. تولید گونه‌های فعال اکسیژن در این شرایط، می‌تواند باعث آسیب بیشتر دستگاه فتوستزی، به‌ویژه زنجیره انتقال الکترون PSII شود (۱۰ و ۱۳).

موجودات فتوستزکننده از جمله گیاهان و جلبک‌های سبز با استفاده از مکانیسم‌های سازشی مانند افزایش تولید و عملکرد آنتی‌اکسیدان‌ها (نظیر آسکوربیات، گلوتاتیون و آنزیم سوپراکسید دسموتاز) به سیستم‌های فتوشیمیابی و بیوشیمیابی خود اجازه تطبیق با شرایط تنفس‌زا را می‌دهند (۱۷ و ۱۸). یکی از ترکیبات آنتی‌اکسیدان، رنگیزه آروماتیک بتاکاروتن است که در شرایط نامناسب رشدی در کلروپلاست گیاهان عالی و جلبک‌های سبز ذخیره شده و از طریق خاموش‌سازی مولکول کلروفیل تحریک شده

اندازه‌گیری کیتیک فلورسنس کلروفیل a : برای بررسی نقش بتاکاروتون در محافظت از PSII جلبک *D. salina* تحت تنش سرما، عملکرد PSII این جلبک با استفاده از اطلاعات حاصل از کیتیک فلورسنس کلروفیل a که از نوردهی نمونه‌های سازگار شده به تاریکی منتشر می‌شود، ارزیابی شد. به این منظور، نمونه‌برداری از سوسپانسیون‌های جلبکی ۴ ساعت پس از انتقال آنها از دمای صفر درجه به دمای ۲۵ درجه سانتیگراد، در شرایط کاملاً استریل انجام شد. برای اندازه‌گیری فلورسنس کلروفیل a ، یک میلی‌لیتر از محلول نمونه‌برداری شده به شیشه مخصوص اندازه‌گیری فلورسنس منتقل شد و بعد شیشه‌ها به مدت ۱۰ دقیقه در تاریکی نگهداری شدند. انتشار فلورسنس کلروفیل a با استفاده از دستگاه Handy PEA (Plant Efficiency Analyser, Hansatech, UK) یک اتفاق کاملاً تاریک ثبت گردید. اطلاعات اولیه حاصل از کیتیک فلورسنس (مانند F_o , F_M , F_J , F_{M^*})، با استفاده از روش OJIP-test به شاخص‌های بیوفیزیکی (مانند F_v/F_o ، Ψ_o ، Φ_{R_o} و Φ_{P_o}) که تعاریف آنها در جدول ۱ ذکر شده است) تبدیل شده و در نهایت با استفاده از نرمافزار Boilyzer HP4، شاخص‌های ذکر شده برای بررسی عملکرد فتوسیستم II ارزیابی و نمودارهای مربوط به آنها رسم شد (۲۴ و ۲۵).

جدول ۱- خلاصه‌ای از شاخص‌های OJIP-test، حاصل از اطلاعات اولیه استخراج شده از کیتیک فلورسنس

شاخص‌های اولیه کیتیک فلورسنس کلروفیل a	
F_o	نور فلورسنس در $50 \mu\text{s}$
F_{150}	نور فلورسنس در $150 \mu\text{s}$
F_{300}	نور فلورسنس در $300 \mu\text{s}$
F_J	نور فلورسنس در سطح J (در 2ms)
F_M	حداکثر نور فلورسنس

سویه 200 UTEX از کلکسیون دانشگاه تگزاس آمریکا تهیه گردید. تلقیح گونه‌های مورد نظر در ارلن‌های حاوی ۱۰۰ میلی‌لیتر محیط کشت اصلاح شده جانسون (۲۱) با ۷ تکرار، در غلظت‌های ۱، ۲ و ۳ مولار NaCl و اسیدیته ۷/۵ به صورتی انجام شد که تعداد سلول‌ها در هر ارلن تقریباً 10^4 *۲۴ در هر میلی‌لیتر از سوسپانسیون جلبکی باشد. سپس سوسپانسیون‌های تهیه شده در دمای ۲۵ درجه سانتیگراد در اتفاق کشت و در شدت نور ۱۰۰ میکرومول فوتون بر متر مربع بر ثانیه به مدت ۱۶ ساعت نور و ۸ ساعت تاریکی بر روی شیکر (Heidolph UNIMAX 2010) با سرعت ۹۶ دور در دقیقه قرار گرفتند.

پس از گذشت ۲ هفته، سوسپانسیون‌های جلبکی به دمای صفر درجه سانتیگراد منتقل و پس از ۸ ساعت دوباره به دمای ۲۵ درجه سانتیگراد انتقال یافتند.

اندازه‌گیری میزان بتاکاروتون: برای اندازه‌گیری میزان بتاکاروتون سلولی، پس از گذشت ۲ هفته، از سوسپانسیون‌های جلبکی مورد مطالعه نمونه‌برداری انجام شد. یک میلی‌لیتر از محلول نمونه‌برداری شده به میکروفیوژتیوپ منتقل و توسط دستگاه سانتریفیوژ به مدت ۵ دقیقه با دور ۱۳۰۰۰g سانتریفیوژ شد. سپس محلول رویی به طور کامل خارج و به رسوب باقی مانده در ته میکروفیوژتیوپ، یک میلی‌لیتر استون ۸۰٪ اضافه شد و توسط ورتکس به خوبی با رسوب جلبکی مخلوط گردید. دوباره عمل سانتریفیوژ به مدت ۲ دقیقه تکرار شد. محلول رویی برای اندازه‌گیری میزان بتاکاروتون از میکروفیوژتیوپ استخراج و میزان جذب آن با استفاده از دستگاه اسپکترومتر Shimadzu UV-160A در طول موج‌های ۴۱۲، ۴۳۱، ۴۶۰ و ۴۸۰ نانومتر قرائت شد. در نهایت با استفاده از فرمول‌های مربوطه، میزان بتاکاروتون بر حسب میکروگرم در سلول محاسبه گردید و منحنی آنها بر حسب زمان رسم شد (۷).

۳ مولار نمک نسبت به غلظت‌های ۱ و ۲ مولار NaCl تا حدودی افزایش یافته است. همچنین نتایج نشان می‌دهد که میزان بتاکاروتون در سلول‌های جلبک *D. bardawil* به‌ویژه در غلظت ۳ مولار نمکی بیشتر از میزان آن در سلول‌های جلبک *D. salina* است (شکل ۱).

بررسی اثر تنش سرما بر کارایی کمپلکس تجزیه آب در سمت دهنده فتوسیستم II (F_v/F_o) جلبک *Dunaliella* مقایسه روند تغییرات شاخص Φ_{Fv} (کارایی کمپلکس تجزیه آب در سمت دهنده فتوسیستم II) در غلظت‌های ۱، ۲ و ۳ مولار NaCl در دو گونه *D. bardawil* و *D. salina* نشان می‌دهد که انتقال نمونه‌ها به دمای صفر درجه سانتیگراد در هر ۳ غلظت NaCl باعث کاهش کارایی کمپلکس تجزیه آب شده است (شکل ۲). با افزایش میزان نمک، کاهش کارایی کمپلکس تجزیه آب در نمونه‌های جلبک *D. bardawil* که از دمای صفر درجه سانتیگراد به دمای ۲۵ درجه سانتیگراد منتقل شده‌اند، نسبت به نمونه‌های شاهد (۲۵ درجه سانتیگراد)، تا حدودی بهبود یافته است؛ به‌طوری‌که در غلظت ۳ مولار NaCl کمترین میزان تغییرات در شاخص Φ_{Fv} در نمونه‌های جلبک *D. bardawil* که به دمای ۲۵ درجه سانتیگراد منتقل شده‌اند نسبت به نمونه‌های شاهد مشاهده می‌شود. در حالی که افزایش میزان نمک در محیط کشت جلبک *D. salina* منجر به تأثیر بیشتر تنش سرما بر کارایی کمپلکس تجزیه آب در این جلبک می‌شود؛ به‌طوری‌که در غلظت ۳ مولار نمک میزان شاخص Φ_{Fv} نسبت به غلظت‌های ۱ و ۲ مولار نمک کاهش بیشتری نشان می‌دهد (شکل ۲).

بررسی اثر تنش سرما بر انتقال الکترون به فتوفایتین و Φ_{P0} در فتوسیستم II جلبک *Dunaliella* مقایسه روند تغییرات شاخص Φ_{P0} (میزان انتقال الکترون به فتوفایتین و Q_A در فتوسیستم II) در غلظت‌های ۱، ۲ و ۳ مولار NaCl در دو گونه *D. salina* و *D. bardawil* نشان

شاخص‌های بیوفیزیکی حاصل از OJIP-test	
F_v/F_o	کارایی کمپلکس تجزیه آب در سمت دهنده فتوسیستم II
Φ_{P0}	انتقال الکترون به فتوفایتین و Q_A در فتوسیستم II
Φ_{Eo}	میزان انتقال الکترون در زنجیره انتقال الکترون فتوسیستم II
Ψ_o	انتقال الکترون از Q_B به Q_A در فتوسیستم II
Φ_{R0}	میزان احیای پذیرنده‌های انتهایی در سمت پذیرنده الکترون فتوسیستم I
Φ_{D0}	میزان اتلاف انرژی به صورت انرژی گرمایی

کلیه آزمایش‌ها در سه تکرار انجام و مقایسه میانگین‌ها با استفاده از روش آزمون دانکن انجام گردید.

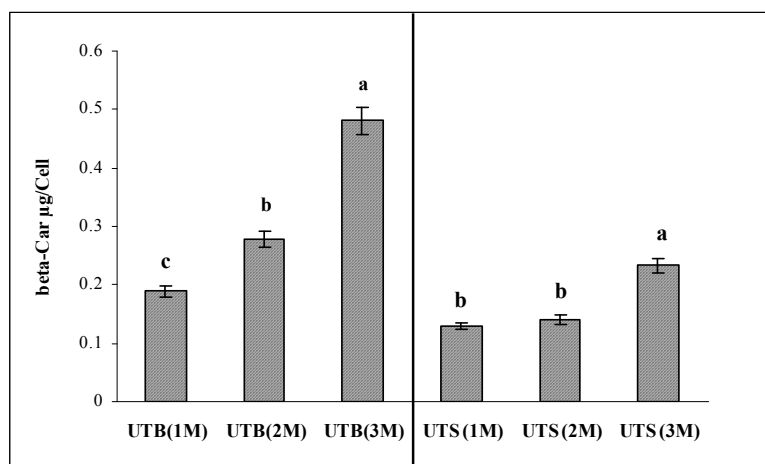
نتایج

برای بررسی بهتر نقش بتاکاروتون در مقاومت یا عدم مقاومت به تنش سرما در جلبک *Dunaliella* آزمایشی طراحی گردید که قبل از تیمار سرما ابتدا میزان بتاکاروتون جلبک‌ها افزایش یافته و بعد تیمار انجام گیرد. بدین منظور، ابتدا سوسپانسیون‌های جلبکی از سویه‌های مورد مطالعه در غلظت‌های ۱، ۲ و ۳ مولار NaCl در دمای ۲۵ درجه سانتیگراد کشت داده شدند و پس از افزایش میزان بتاکاروتون سلولی و اندازه‌گیری میزان آن، پس از دو هفته نمونه‌ها به دمای صفر درجه سانتیگراد منتقل شده و پس از ۸ ساعت دوباره به دمای ۲۵ درجه سانتیگراد انتقال یافتند. سپس میزان فلورورسنس کلروفیل a نمونه‌ها اندازه‌گیری و اطلاعات حاصل از آن توسط OJIP-test و نرم‌افزار Biolyzer ارزیابی شد.

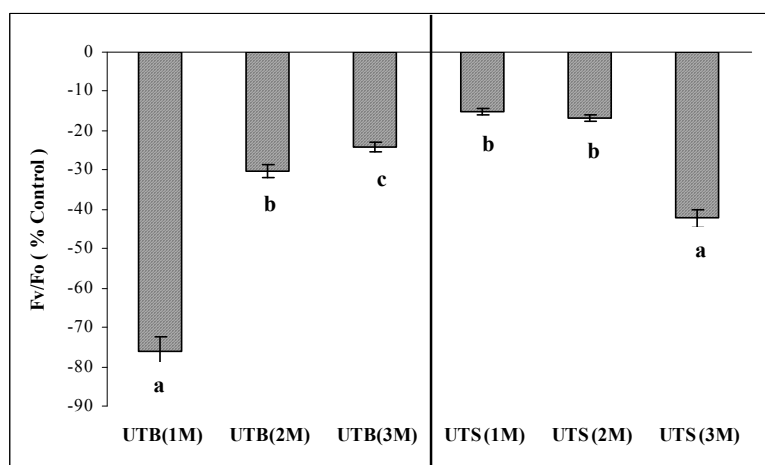
میزان بتاکاروتون در سلول‌های جلبک *D. bardawil* و *D. salina* مقایسه میزان بتاکاروتون در گونه‌های مورد مطالعه نشان می‌دهد که میزان بتاکاروتون در جلبک *D. bardawil* با افزایش میزان نمک در محیط کشت، به‌ویژه در غلظت ۳ مولار نمک افزایش یافته است. در حالی که میزان بتاکاروتون در سلول‌های جلبک *D. salina* که در سوسپانسیون‌های جلبکی با غلظت‌های ۱ و ۲ مولار NaCl رشد یافته‌اند تقریباً مشابه بوده و میزان آن در غلظت

ϕ_{P_0} در نمونه‌های جلبک *D. bardawil* که به دمای ۲۵ درجه سانتیگراد متقل شده‌اند نسبت به نمونه‌های شاهد مشاهده می‌شود. در حالی که افزایش میزان نمک در محیط کشت جلبک *D. salina* منجر به تأثیر بیشتر تنفس سرما بر میزان انتقال الکترون به فتوفایتین و Q_A در این جلبک می‌شود؛ به طوری که در غلظت ۳ مولار نمک میزان شاخص ϕ_{P_0} نسبت به غلظت‌های ۱ و ۲ مولار نمک کاهش بیشتری نشان می‌دهد (شکل ۳).

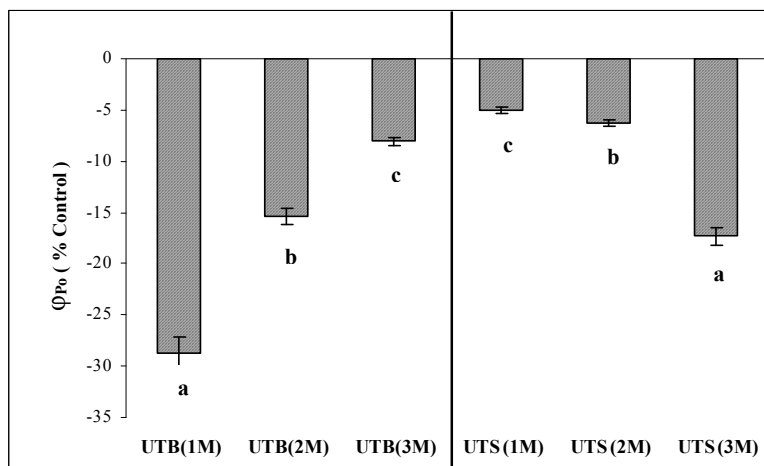
می‌دهد که انتقال نمونه‌ها به دمای صفر درجه سانتیگراد در هر ۳ غلظت NaCl باعث کاهش کارایی انتقال الکترون به فتوفایتین و Q_A شده است (شکل ۳). با افزایش میزان نمک، کاهش میزان انتقال الکترون به فتوفایتین و Q_A در *D. bardawil* II در نمونه‌های جلبک *D. bardawil* دمای صفر درجه سانتیگراد به دمای ۲۵ درجه سانتیگراد متقل شده‌اند، نسبت به نمونه‌های شاهد (درجه سانتیگراد) تا حدودی بهبود یافته است؛ به طوری که در غلظت ۳ مولار NaCl کمترین میزان تغییرات در شاخص



شکل ۱- میزان بتاکاروتون موجود در سلول‌های جلبک *D. salina* (UTB) و جلبک *D. bardawil* (UTS) ۲ هفته پس از تلچیق سلول‌های جلبکی در محیط‌هایی با غلظت‌های ۱، ۲ و ۳ مولار NaCl (مقادیر میانگین سه تکرار \pm انحراف معیار است. مقایسه میانگین‌ها با استفاده از آزمون دانکن انجام شد و حروف مشترک بیانگر عدم اختلاف معنی دار ($P < 0.05$) می‌باشد).



شکل ۲- کارایی کمپلکس تجزیه آب در سمت دهنده فتوسیستم II گونه‌های *D. bardawil* (UTB) و *D. salina* (UTS) پس از انتقال نمونه‌ها از دمای صفر درجه سانتیگراد به دمای ۲۵ درجه سانتیگراد در غلظت‌های ۱، ۲ و ۳ مولار NaCl (مقادیر میانگین سه تکرار \pm انحراف معیار است. مقایسه میانگین‌ها با استفاده از آزمون دانکن انجام شد و حروف مشترک بیانگر عدم اختلاف معنی دار ($P < 0.05$) می‌باشد).



شکل ۳- میزان انتقال الکترون به فتوایتین و Q_A در فتوسیستم II (ϕ_{Po}) گونه‌های *D. bardawil* و *D. salina* (UTB) و (UTS). پس از انتقال نمونه‌ها از دمای صفر درجه سانتیگراد به دمای ۲۵ درجه سانتیگراد در غلظت‌های ۱، ۲ و ۳ مolar NaCl (مقادیر میانگین سه تکرار \pm انحراف معیار است. مقایسه میانگین‌ها با استفاده از آزمون دانکن انجام شد و حروف مشترک بیانگر عدم اختلاف معنی دار ($P < 0.05$) می‌باشد).

غلظت‌های ۱ و ۲ مolar نمک کاهش بیشتری نشان می‌دهد (شکل ۴).

بررسی اثر تنفس سرما بر میزان انتقال الکترون در زنجیره انتقال الکترون فتوسیستم II (ϕ_{Eo}) جلبک *Dunaliella* مقایسه میزان شاخص ϕ_{Eo} (میزان انتقال الکترون در زنجیره انتقال الکترون فتوسیستم II) در غلظت‌های ۱، ۲ و ۳ مolar NaCl در دو گونه *D. salina* و *D. bardawil* نشان می‌دهد که انتقال نمونه‌ها به دمای صفر درجه سانتیگراد در هر ۳ غلظت زنجیره انتقال الکترون فتوسیستم II شده است (شکل ۵). با افزایش میزان نمک، کاهش میزان انتقال الکترون در زنجیره انتقال الکترون فتوسیستم II در نمونه‌های جلبک *D. bardawil* که از دمای صفر درجه سانتیگراد به دمای ۲۵ درجه سانتیگراد منتقل شده‌اند، نسبت به نمونه‌های شاهد (۲۵ درجه سانتیگراد) تا حدودی بهبود یافته است؛ به طوری که در غلظت ۳ مolar NaCl کمترین میزان تغییرات در شاخص ϕ_{Eo} در نمونه‌های جلبک *D. bardawil* که به دمای ۲۵ درجه سانتیگراد منتقل شده‌اند نسبت به نمونه‌های شاهد مشاهده می‌شود. در شده‌اند نسبت به نمونه‌های شاهد مشاهده می‌شود. در حالی که افزایش میزان نمک در محیط کشت جلبک *D. salina* منجر به تأثیر بیشتر تنفس سرما بر میزان انتقال الکترون از Q_A به Q_B در این جلبک می‌شود؛ به طوری که در غلظت ۳ مolar نمک میزان شاخص ϕ_{Eo} نسبت به

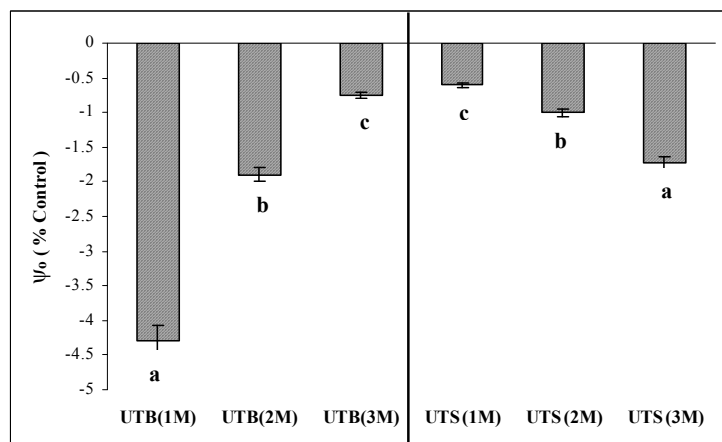
بررسی اثر تنفس سرما بر انتقال الکترون از Q_A به Q_B در

فوتوسیستم II (ψ_0) جلبک *Dunaliella* : مقایسه روند تغییرات شاخص ψ_0 (انتقال الکترون از Q_A به Q_B در فتوسیستم II) در غلظت‌های ۱، ۲ و ۳ مolar NaCl در دو گونه *D. salina* و *D. bardawil* نشان می‌دهد که انتقال نمونه‌ها به دمای صفر درجه سانتیگراد در هر ۳ غلظت باعث کاهش کارایی انتقال الکترون از Q_A به Q_B در فتوسیستم II شده است (شکل ۴). با افزایش میزان نمک، کاهش میزان انتقال الکترون از Q_A به Q_B در نمونه‌های جلبک *D. bardawil* که از دمای صفر درجه سانتیگراد به دمای ۲۵ درجه سانتیگراد منتقل شده‌اند، نسبت به نمونه‌های شاهد (۲۵ درجه سانتیگراد) تا حدودی بهبود یافته است؛ به طوری که در غلظت ۳ مolar NaCl کمترین میزان تغییرات در شاخص ψ_0 در نمونه‌های جلبک *D. bardawil* که به دمای ۲۵ درجه سانتیگراد منتقل شده‌اند نسبت به نمونه‌های شاهد مشاهده می‌شود. در حالی که افزایش میزان نمک در محیط کشت جلبک *D. salina* منجر به تأثیر بیشتر تنفس سرما بر میزان انتقال الکترون از Q_A به Q_B در این جلبک می‌شود؛ به طوری که در غلظت ۳ مolar نمک میزان شاخص ψ_0 نسبت به

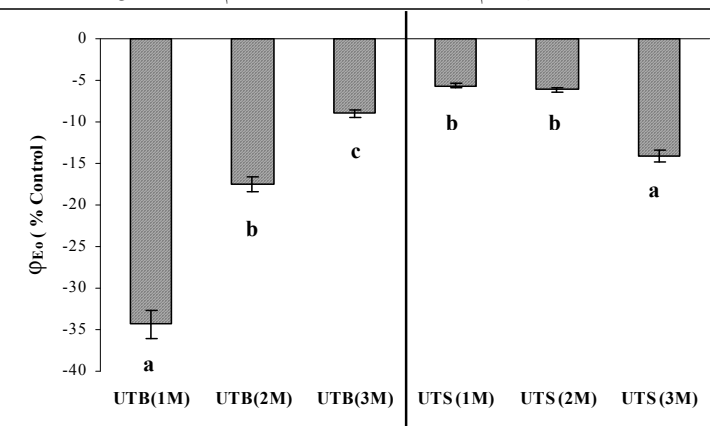
باعث کاهش میزان احیای پذیرنده‌های انتهایی در سمت پذیرنده الکترون فتوسیستم I شده است (شکل ۶). با افزایش میزان نمک، این کاهش در نمونه‌های جلبک *D. bardawil* که از دمای صفر درجه سانتیگراد به دمای ۲۵ درجه سانتیگراد منتقل شده‌اند، نسبت به نمونه‌های شاهد (۲۵ درجه سانتیگراد) تا حدودی بهبود یافته است؛ به‌طوری‌که در غلظت ۳ مولار NaCl کمترین میزان تغییرات در شاخص ϕ_{E0} در نمونه‌های جلبک *D. bardawil* که به دمای ۲۵ درجه سانتیگراد منتقل شده‌اند نسبت به نمونه‌های شاهد مشاهده می‌شود.

الکترون در زنجیره انتقال الکترون فتوسیستم II در این جلبک می‌شود؛ به‌طوری‌که در غلظت ۳ مولار نمک میزان شاخص ϕ_{E0} نسبت به غلظت‌های ۱ و ۲ مولار نمک کاهش بیشتری نشان می‌دهد (شکل ۵).

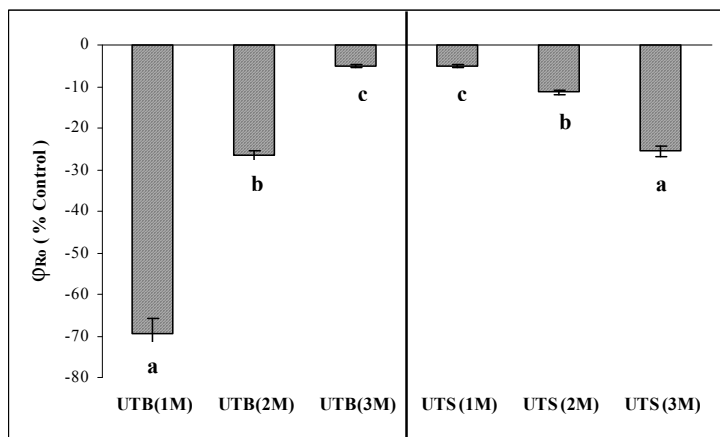
بررسی اثر تنش سرما بر میزان احیای پذیرنده‌های انتهایی در سمت پذیرنده الکترون فتوسیستم I (ϕ_{R0}) **Dunaliella** : مقایسه میزان شاخص ϕ_{R0} میزان احیای پذیرنده‌های انتهایی در سمت پذیرنده الکترون فتوسیستم I در غلظت‌های ۱، ۲ و ۳ مولار NaCl در دو گونه *D. salina* و *D. bardawil* نشان می‌دهد که انتقال نمونه‌ها به دمای صفر درجه سانتیگراد در هر ۳ غلظت



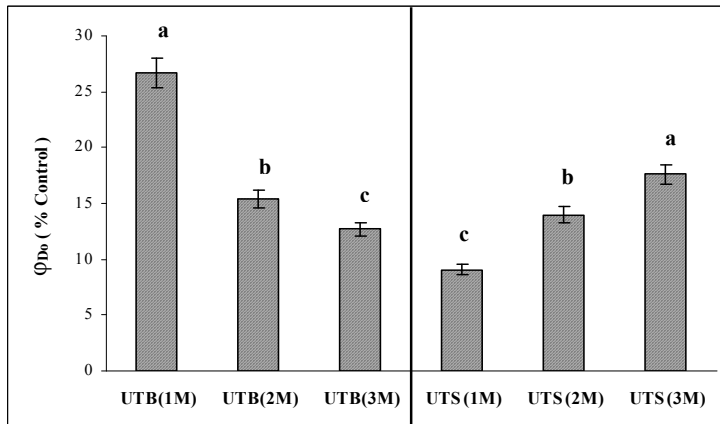
شکل ۴- میزان انتقال الکترون از QB به QA در فتوسیستم II (ψ₀) گونه‌های *D. salina* (UTB) و *D. bardawil* (UTS)، پس از انتقال نمونه‌ها از دمای صفر درجه سانتیگراد به دمای ۲۵ درجه سانتیگراد در غلظت‌های ۱، ۲ و ۳ مولار NaCl (مقادیر میانگین سه تکرار ± انحراف معیار است. مقایسه میانگین‌ها با استفاده از آزمون دانکن انجام شد و حروف مشترک بیانگر عدم اختلاف معنی دار ($P < 0.05$) می‌باشد).



شکل ۵- میزان انتقال الکترون در زنجیره انتقال الکترون فتوسیستم II (φE₀) گونه‌های *D. salina* (UTB) و *D. bardawil* (UTS)، پس از انتقال نمونه‌ها از دمای صفر درجه سانتیگراد به دمای ۲۵ درجه سانتیگراد در غلظت‌های ۱، ۲ و ۳ مولار NaCl (مقادیر میانگین سه تکرار ± انحراف معیار است. مقایسه میانگین‌ها با استفاده از آزمون دانکن انجام شد و حروف مشترک بیانگر عدم اختلاف معنی دار ($P < 0.05$) می‌باشد).



شکل ۶- میزان احیای پذیرنده‌های انتهایی در سمت پذیرنده الکترون فتوسیستم I (UTB) *D. bardawil* و (UTS) *D. salina*، پس از انتقال نمونه‌ها از دمای صفر درجه سانتیگراد به دمای ۲۵ درجه سانتیگراد در غلظت‌های ۱، ۲ و ۳ مولار NaCl (مقادیر میانگین سه تکرار ± انحراف معیار است. مقایسه میانگین‌ها با استفاده از آزمون دانکن انجام شد و حروف مشترک بیانگر عدم اختلاف معنی‌دار ($P < 0.05$) می‌باشد).



شکل ۷- میزان اتلاف انرژی (ΦD0) گونه‌های (UTB) *D. bardawil* و (UTS) *D. salina* پس از انتقال نمونه‌ها از دمای صفر درجه سانتیگراد به دمای ۲۵ درجه سانتیگراد در غلظت‌های ۱، ۲ و ۳ مولار NaCl (مقادیر میانگین سه تکرار ± انحراف معیار است. مقایسه میانگین‌ها با استفاده از آزمون دانکن انجام شد و حروف مشترک بیانگر عدم اختلاف معنی‌دار ($P < 0.05$) می‌باشد).

اتلاف انرژی) در غلظت‌های ۱، ۲ و ۳ مولار NaCl در دو گونه *D. salina* و *D. bardawil* نشان می‌دهد که انتقال نمونه‌ها به دمای صفر درجه سانتیگراد در هر ۳ غلظت NaCl باعث افزایش میزان اتلاف انرژی شده است (شکل ۷). با افزایش میزان نمک، افزایش میزان اتلاف انرژی در نمونه‌های جلبک *D. bardawil* که از دمای صفر درجه سانتیگراد به دمای ۲۵ درجه سانتیگراد منتقل شده‌اند، نسبت به نمونه‌های شاهد (۲۵ درجه سانتیگراد) تا حدودی بهبود یافته است؛ بهطوری‌که در غلظت ۳ مولار NaCl

در حالی که افزایش میزان نمک در محیط کشت جلبک *D. salina* منجر به تأثیر بیشتر تنفس سرما بر میزان احیای پذیرنده‌های انتهایی در سمت پذیرنده الکترون فتوسیستم I در این جلبک می‌شود؛ بهطوری‌که در غلظت ۳ مولار نمک میزان شاخص Φ_{Ro} نسبت به غلظت‌های ۱ و ۲ مولار نمک کاهش بیشتری نشان می‌دهد (شکل ۶).

بررسی اثر تنفس سرما بر میزان اتلاف انرژی (Φ_{D0}) در جلبک *Dunaliella* : مقایسه میزان شاخص Φ_{D0} (میزان

باشد. بررسی نتایج حاصل از اثر تنفس سرما بر کیتیکل کلروفیل a در دو گونه *D. bardawil* و *D. salina* نشان می‌دهد که کاهش دما منجر به کاهش کارایی کمپلکس تجزیه کننده آب در نمونه‌های تحت تیمار سرما نسبت به نمونه‌های شاهد شده است (شکل ۲). همچنین میزان انتقال الکترون به فتوفایتین و Q_A (شکل ۳) و پس از آن، انتقال الکترون از Q_A به Q_B (شکل ۴) و در نهایت احیای پذیرنده‌های نهایی در سمت پذیرنده فتوسیستم I (شکل ۵) تحت تأثیر تنفس سرما در گونه‌های مورد مطالعه کاهش می‌یابد. با توجه به نتایج و همچنین اهمیت نقش کمپلکس تجزیه آب در ادامه جریان انتقال الکترون در زنجیره انتقال الکترون فتوسیستم II می‌توان گفت، کاهش کارایی کمپلکس تجزیه آب در اثر کاهش دما احتمالاً در کاهش میزان انتقال الکترون به پذیرنده‌های الکترون فتوسیستم II نقش داشته و اختلال در فعالیت زنجیره انتقال الکترون فتوسیستم II (ϕ_{E_0}) این دو جلبک در اثر کاهش دما می‌تواند به علت کاهش کارایی کمپلکس تجزیه آب تحت تأثیر تنفس سرما باشد.

دمای پایین با تأثیر منفی بر مراکز واکنش فتوسیستم II باعث افزایش تراکم مراکز واکنش غیر فعال در این فتوسیستم می‌شود. هنگامی که تراکم مراکز واکنش فعال کاهش می‌یابد، درصد تبدیل انرژی نوری جذب شده به انرژی برانگیختگی که در اثر برانگیخته شدن کلروفیل a در مراکز واکنش فعال فتوسیستم II به دام می‌افتد نیز کاهش می‌یابد (۲۷). در اثر کاهش میزان انرژی به دام افتاده توسط مراکز واکنش، میزان انرژی که به درون زنجیره انتقال الکترون منتقل می‌شود کاهش یافته و در نتیجه انرژی لازم برای احیای پذیرنده‌های الکترون در مسیر زنجیره انتقال الکترون فتوسیستم II به خوبی فراهم نمی‌شود که این امر به نوعی خود منجر به کاهش فعالیت زنجیره انتقال الکترون فتوسیستم II (ϕ_{E_0}) می‌شود. از طرفی کاهش میزان انرژی به دام افتاده در اثر غیر فعال شدن مراکز واکنش فتوسیستم II تحت تیمار سرما، می‌تواند میزان اتلاف انرژی به

کمترین میزان تغییرات در شاخص ϕ_{D_0} در نمونه‌های جلبک *D. bardawil* که به دمای ۲۵ درجه سانتیگراد منتقل شده‌اند نسبت به نمونه‌های شاهد مشاهده می‌شود. در حالی که افزایش میزان نمک در محیط کشت جلبک *D. salina* منجر به تأثیر بیشتر تنفس سرما بر میزان اتلاف انرژی در این جلبک می‌شود؛ بهطوری‌که در غلظت ۳ مولار نمک میزان شاخص ϕ_{D_0} نسبت به غلظت‌های ۱ و ۲ مولار نمک افزایش بیشتری نشان می‌دهد (شکل ۷).

بحث

حضور موجودات فتوسترنکننده در محدوده‌ای از انرژی نورانی که بیش از نیاز فرایند فتوسترنکننده است، منجر به عدم تعادل انرژی و به طور کلی بازدارنده‌ی نوری می‌شود. تنفس سرما با ایجاد اختلال در فعالیت آنزیمه‌ای چرخه کالوین، ظرفیت ثبت CO_2 را کاهش داده و باعث کاهش سرعت انتقال انرژی از طریق الکترون‌ها به ترکیبات پذیرنده الکترون می‌شود، در حالی که بر جذب نور توسط کلروفیل‌ها تأثیر چندانی ندارد (۱۵ و ۲۸). زمانی که میزان انرژی نورانی جذب شده بیش از نیاز دستگاه فتوسترنکننده باشد، شرایط لازم را برای ایجاد اکسیداسیون نوری و تولید رادیکال‌های آزاد فراهم می‌کند. تولید رادیکال‌های آزاد منجر به آسیب مراکز واکنش فتوسیستم II و بهویژه پروتئین D_1 می‌شود. همچنین تنفس سرما با کند کردن سرعت جایگزینی پروتئین D_1 به داخل مرکز واکنش فتوسیستم II، روند ترمیم فتوسیستم II را با مشکل مواجه ساخته، و مانع فعالیت طبیعی مراکز واکنش این فتوسیستم می‌شود. با توجه به اهمیت کارایی کمپلکس تجزیه آب در فتوسیستم II (۱۹) و همچنین ارتباط آن با پروتئین‌های D_1 و D_2 در مرکز واکنش این فتوسیستم (۳۰)، آسیب پروتئین D_1 در مرکز واکنش فتوسیستم II به علت کاهش دما و همچنین کند شدن سرعت جایگزینی پروتئین D_1 به داخل مرکز واکنش فتوسیستم II تحت این شرایط، می‌تواند در کاهش کارایی کمپلکس تجزیه آب (F_v/F_{f}) دخالت داشته

بهتری به حالت طبیعی اولیه باز می‌گردد. زیرا در چنین شرایطی (غلظت بالای نمک) جلبک *D. bardawil* در قیاس با جلبک *D. salina* توانایی بیشتری در تجمع بتاکاروتن دارد. با توجه به افزایش تولید گونه‌های فعال اکسیژن در اثر کاهش یافتن دما (۲۰) و همچنین بازدارندگی نوری القا شده در اثر تنش سرما (۱۳)، علاوه بر کارتونیدها، تولید آنتی‌اکسیدان‌هایی مانند آسکوربیات، گلوتاتیون و آنزیم سوپراکسید دسموتاز نیز می‌تواند نقش داشته باشد. با توجه به نتایج این تحقیق به نظر می‌رسد، تجمع بالای بتاکاروتن در جلبک *D. bardawil* (به عنوان یک آنتی‌اکسیدان برای مقابله با رادیکال‌های آزاد و یا به عنوان یک فیلتر نوری برای جذب انرژی نورانی مازاد بر نیاز دستگاه فتوستتری) به افزایش حفاظت از مراکز واکنش فتوسیستم II در این گونه جلبکی منجر شده، درنتیجه کارایی جلبک *D. bardawil* را در انجام واکنش‌های اولیه فتوستتر در محیط‌های حاوی غلظت بالای نمک افزایش داده است.

جمع‌بندی

با توجه به نتایج این تحقیق می‌توان گفت تجمع بتاکاروتن در جلبک *D. bardawil* در غلظت‌های بالای نمک، پیش از اعمال تنش سرما به حفاظت از فتوسیستم II دستگاه فتوستتری این جلبک در برابر شرایط نامساعدی که در اثر تنش سرما ایجاد می‌شود، کمک کرده و باعث افزایش مقاومت جلبک *D. bardawil* در این شرایط می‌شود، به طوری که پس از انتقال از دمای صفر درجه به دمای ۲۵ درجه سانتیگراد با کارایی بهتری به حالت طبیعی اولیه باز می‌گردد.

سپاسگزاری

بدین‌وسیله از مسئولان محترم تحصیلات تکمیلی دانشگاه اصفهان به دلیل حمایت مالی در انجام این تحقیق قدردانی می‌گردد. همچنین نویسندها مقاله از قطب تنش‌های گیاهی در دانشگاه اصفهان نیز تشکر و قدردانی می‌نمایند.

صورت انرژی گرمایی را افزایش دهد (۲۵). افزایش میزان شاخص ϕ_{D_0} (شکل ۷) در نمونه‌های جلبکی *D. bardawil* و *D. salina* که در این تحقیق در اثر کاهش دما مشاهده شد، می‌تواند مؤید این امر باشد.

تشش شوری یکی از عوامل تنش‌زا در محیط زندگی جلبک *Dunaliella* است که باعث افزایش تولید گونه‌های فعال اکسیژن در این جلبک می‌شود (۳). یکی از راهکارهای جلبک *Dunaliella* برای مقابله با این شرایط تولید و تجمع کاروتوئیدها از جمله بتاکاروتن است. گزارش شده است بتاکاروتن ۱۰٪ از وزن خشک جلبک *D. bardawil* را در غلظت‌های بالای نمک تشکیل می‌دهد (۴). به نظر می‌رسد افزایشی که در میزان بتاکاروتن سلول‌های جلبک *D. bardawil* تحت تنش شوری، به ویژه غلظت ۳ مولار $NaCl$ ، در این تحقیق مشاهده شد، یک پاسخ حفاظتی است و از آنجا که بتاکاروتن دارای نقش آنتی‌اکسیدانی است، احتمالاً سلول با این واکنش، توانایی خود را در برابر اثرات منفی غلظت‌های بالای نمک (از جمله تنش اکسیداتیو القاء شده تحت این شرایط) افزایش می‌دهد.

مقایسه میزان بتاکاروتن در دو گونه جلبکی مورد مطالعه نشان می‌دهد که میزان بتاکاروتن در *D. bardawil* به ویژه در غلظت ۳ مولار نمکی بیشتر از *D. salina* است. همچنین پس از انتقال نمونه‌های جلبکی به دمای ۲۵ درجه سانتیگراد شاخص‌های F_v/F_0 (میزان کارایی کمپلکس تجزیه آب)، ϕ_{P_0} (انتقال الکترون به فتوفیتین و Q_A)، ψ_0 (انتقال الکترون از Q_A به Q_B)، ϕ_{E_0} (میزان انتقال الکترون در زنجیره انتقال الکtron)، ϕ_{R_0} (میزان احیای پذیرنده انتها ای زنجیره انتقال الکtron) و ϕ_{D_0} (میزان اتلاف انرژی) در *D. bardawil* تغییرات کمتری نسبت به *D. salina* در محیط ۳ مولار نمکی از خود نشان دادند. با توجه به نتایج به نظر می‌رسد در محیط‌های حاوی غلظت بالای نمک، جلبک *D. bardawil* هنگامی که از دمای صفر درجه سانتیگراد به ۲۵ درجه سانتیگراد منتقل می‌شود با کارایی

منابع

- ۲- شریعتی، م؛ ذوفن، پ. ۱۳۸۲. بررسی کمبود نیترات بر تقسیم سلولی و سنتز رنگیرهای بتاکاروتون و کلروفیل در جلبک سبز تک سلولی *Dunaliella salina* جداسازی شده از مرداب شور گاوخونی اصفهان. مجله پژوهش و سازندگی. ۱۳-۷: ۵۹.
- 3- Abd El-Baky, H. H., El Baz, F. K. and El-Baroty, G. S. 2004. Production of antioxidant by the green alga *Dunaliella salina*. International Journal of Agriculture and Biology. 6: 49-57.
- 4- Ben-Amotz, A. and Avron, M. 1983. On the factors which determine massive β -carotene accumulation in the halotolerant alga *Dunaliella bardawil*. Plant Physiology. 7: 593-597.
- 5- Ben-Amotz, A. 1996. Effect of low temperature on the stereoisomer composition of beta-carotene in the halotolerant alga *Dunaliella bardawil* (Chlorophyta) Journal of Phycology. 32: 272-275.
- 6- Chidambara Murthy, K. N., Vanitha, A., Rajesha, J., Mahadeva Swamy, M., Sowmya, P. R., Ravishankar, G. A. 2005. In vivo antioxidant activity of carotenoids from *Dunaliella salina*. a green microalga. Life Sciece. 76: 1381-1390.
- 7- Eijckelhoff, C. and Dekker, J. P. 1997. A routine method to determine the chlorophyll a, pheophytin and β -carotene contents of isolated photosystem II reaction center complex. Photosynthesis Research. 52: 63-67.
- 8- Hadi, M. R., Shariati, M. and Afsharzadeh, S. 2008. Microalgal biotechnology: carotenoid and glycerol production by the green algae *Dunaliella* isolated from the Gave-khoni salt marsh, Iran. Biotechnology and Bioprocess Engineering. 13: 540-544.
- 9- Hällgren, J. E. and Öquist, G. 1990. Adaptations to low temperatures. In: Stress responses in plants: Adaptation and acclimation mechanisms. (eds. Alscher, R. G. and Cumming, J.R.). Wiley-Liss, New York. 265-293.
- 10- Heidarvand, L., Malli Ammiri, R., Naghavi, M. R., Farayedi, Y., Sadeghzadeh, B. and Alizadeh, Kh. 2011. Physiological and morphological characteristics of chickpea accessions under low temperature stress. Russian Journal of Plant Physiology. 58: 157-163.
- 11- Hosseini Tafreshi, A and Shariati, M. 2006. Pilot culture of three strains of *Dunaliella salina* for β -carotene production in open ponds in the central region of Iran. World Journal of Microbiology and Biotechnology. 22: 1003-1006.
- 1- آقابی، ب؛ شریعتی، م. ۱۳۸۶. اثر کمبود سولفور بر رشد سلولی، تولید بتاکاروتون، کلروفیل و فتوستتر در جلبک *Dunaliella* جدا شده از مرداب شور گاوخونی اصفهان. مجله زیست‌شناسی ایران. ۱۱-۱، ۲۰.
- 12- Hosseini Tafreshi, A and Shariati, M. 2009. *Dunaliella* biotechnology: methods and applications. Journal of Applied Microbiology. 107: 14-35.
- 13- Huner, N. P. A., Öquist, G. and Sarhan, F. 1998. Energy balance and acclimation to light and cold. Trends in Plant Science. 3: 224-230.
- 14- Jimenez, C. and Pick, U. 1993. Differential reactivity of β -carotene isomers from *Dunaliella bardawil* toward oxygen radicals. Plant Physiology. 101: 385-390.
- 15- Lambers, H., Chapin III, F. S. and Pons, T. L. 2008. Plant physiological ecology. 2nd Ed, Springer, New York.
- 16- Madadkar Haghjou, M. and Shariati, M. 2007. Photosynthesis and respiration under low temperature stress in two *Dunaliella* strains. World Applied Sciences Journal. 2: 276-282.
- 17- Madadkar Haghjou, M., Shariati, M. and Smirnoff, N. 2009. The effect of acute high light and low temperature stresses on the ascorbate-glutathione cycle and superoxide dismutase activity in two *Dunaliella salina* strains. Physiologia Plantarum. 135: 272-280.
- 18- Mahajan, S. and Tuteja, N. 2005. Cold, salinity and drought stresses: An overview. Archives of Biochemistry and Biophysics. 444: 139-158.
- 19- Pereira, W. E., De Siqueira, D. L., Martínez, C. A. and Puiatti, M. 2000. Gas exchange and chlorophyll fluorescence in four citrus rootstocks under aluminium stress. Journal of Plant Physiology. 157: 513-520.
- 20- Prasad, T. K., Anderson, M. D., Martin, B. A. and Stewart, C. R. 1994. Evidence for chilling-induced oxidative stress in maize seedling and a regulatory role for hydrogen peroxide. Plant Cell. 6: 65-74.
- 21- Shariati, M. and Lilley, McC. 1994. Loss of intracellular glycerol from *Dunaliella* by electroporation at constant osmotic pressure: Subsequent restoration of glycerol content and associated volume changes. Plant Cell and Environment. 17: 1295-1304.

- 22- Shariati, M. and Yahyaabadi, S. 2002. Effect of different concentrations of copper on growth rate, chlorophyll, beta-carotene, Ca^{2+} and Mg^{2+} content of *Dunaliella salina*. Iranian Journal of Biology. 11: 37-46.
- 23- Shariati, M. and Yahyaabadi, S. 2006. The effects of different concentrations of cadmium on the growth rate and beta-carotene synthesis in unicellular green alga *Dunaliella salina*. Iranian Journal of Science and Technology. 30: 57-63.
- 24- Strasser, B. J. and Strasser, R. J. 1995. Measuring fast fluorescence transients to address environmental questions: the JIP test. In: Photosynthesis: From Light to Biosphere. (ed. Mathis, P.). Kluwer Academic, The Netherlands. 977-980.
- 25- Strasser, R. J., Tsimilli-Michael, M. and Srivastava, A. 2004. Analysis of the fluorescence transient. In: Chlorophyll a fluorescence: A signature of photosynthesis. (eds. Papageorgiou, G. C. and Govindjee). Springer, Rotterdam. 321-362.
- 26- Tewari, A. K. and Tripathy, B. C. 1998. Temperature-stress-induced impairment of chlorophyll biosynthetic reactions in cucumber and wheat. Plant Physiology. 117: 851-858.
- 27- Thach, L. B., Shapcott, A., Schmidt, S. and Critchley, C. 2007. The OJIP fast fluorescence rise characterizes *Graptophyllum* species and their stress responses. Photosynthesis Research. 94: 423-436.
- 28- Wise, R. R. 1995. Chilling-enhanced photooxidation: the production, action and study of reactive oxygen species produced during chilling in the light. Photosynthesis Research. 45: 79-97.
- 29- Young, A and Britton, G. 1990. Carotenoids and stress. Plant Physiology. 12: 87-112.
- 30- Zouni, A., Witt, H. T., Kern, J., Fromme, P., Krauss, N., Saenger, W. and Orth, P. 2001. Crystal structure of photosystem II from *synechococcus elongatus* at 3.8°A resolution. Nature. 409: 739-743.

Relationship between β -carotene accumulation and cold stress resistance in unicellular green alga *Dunaliella* using Chl-a fluorescence kinetic

Paizi M.¹, Einali A.R.² and Shariati M.¹

¹ Biology Dept., Faculty of Science, University of Isfahan, Isfahan, I.R. of Iran

² Biology Dept., Faculty of Science, University of Sistan and Baluchestan, Zahedan, I.R. of Iran

Abstract

Beta-carotene is stored in the chloroplast of higher plants and green algae under unfavorable growth conditions such as high light intensity, high concentration of NaCl, low and high temperature and nitrate deficiency to protect the photosynthetic apparatus specially PSII. Unicellular green alga *Dunaliella*, specially *Dunaliella bardawil* and *Dunaliella salina*, has capability to accumulate massive beta-carotene in its chloroplasts under unsuitable conditions. In this study to investigate on beta-carotene role in resistance to cold stress, *Dunaliella bardawil* and *Dunaliella salina* were cultured on mediums containing 1M, 2M and 3M of NaCl at 25°C in six replicate. After two weeks, when beta-carotene content was increased and measured, samples were transferred to 0°C and after 8h they were returned to 25°C. Then parameters of Chl-a fluorescence was measured and its parameters were evaluated. According to the result, amount of beta-carotene in *D. bardawil* especially in 3M NaCl was higher than *D. salina*. In addition, analysis of fluorescence parameters such as Fv/Fo (activity of the water-splitting complex), ϕ_{P_0} (electron transport to pheophytin and Q_A), ψ_o (electron transport from Q_A to Q_B), ϕ_{E_0} (electron transport in electron transport chain), ϕ_{R_0} (reduction rate of end acceptor of electron transport chain) and ϕ_{D_0} (rate of energy dissipation) indicated less changes in *D. bardawil* than *D. salina* in 3M NaCl when return to 25°C. According to the result, it seems that in the medium containing high concentration of NaCl, *D. bardawil* has better recovery when transferred from 0°C to 25°C. In such condition, *D. bardawil* is able to accumulate more beta-carotene than *D. salina* and in turn is able to protect PSII reaction centers.

Key words: Beta-carotene, Cold stress, *Dunaliella*, kinetic of fluorescence chlorophyll a, Photosystem II